

Réseaux de neurones informés par la physique pour la reconstruction de courants de gravité

Yoann Cheny, Mickaël Delcey, Adrien Ganz & Sébastien K. de Richter
Université de Lorraine, France

yoann.cheny@univ-lorraine.fr

Contexte & Objectifs

Situation typique : étude d'écoulements 3D à partir d'observations expé. 0D, 2D

Écoulements de Poudres et Suspensions, courants de gravité écoulements induits par $\Delta\rho$



Lock-exchange configuration
Western Washington University

Métrieologie des courants de gravité :

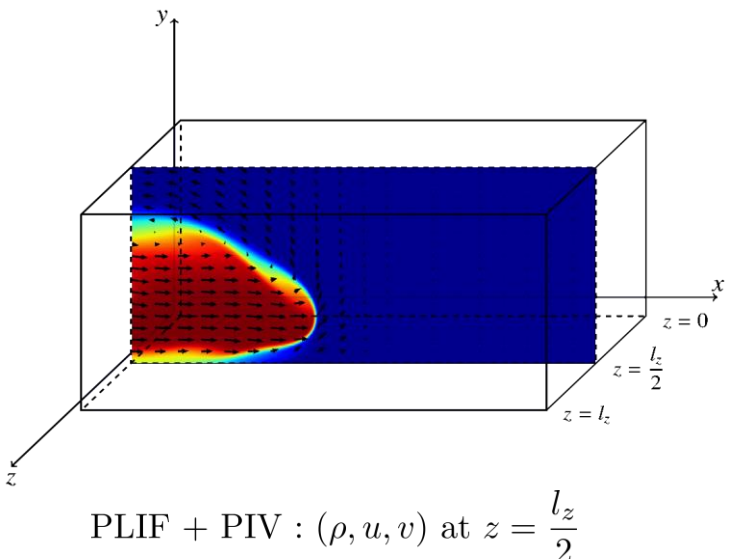
- (u, v) : Particle Image Velocimetry (PIV 2D-2C)
- ρ : Planar Laser Induced Fluorescence (PLIF)
- $\bar{\rho} = \int \rho(z)dz$ Light Attenuation Technique (LAT)

Mesures volumétriques onéreuses : RMN, Tomo-PIV, 3D-LIF, 3DBoS...

Contexte & Objectifs

Situation typique : étude d'écoulements 3D à partir d'observations expé. 0D, 2D

Écoulements de Poudres et Suspensions, courants de gravité écoulements induits par $\Delta\rho$



Métrieologie des courants de gravité :

- (u, v) : Particle Image Velocimetry (PIV 2D-2C)
- ρ : Planar Laser Induced Fluorescence (PLIF)
- $\bar{\rho} = \int \rho(z)dz$ Light Attenuation Technique (LAT)

Mesures volumétriques onéreuses : RMN, Tomo-PIV, 3D-LIF, 3DBoS...

Peut-on reconstruire l'écoulement 3D (ρ, u, v, w, p) à partir de données lacunaires ? [Delcey et al. 2023]

Contexte & Objectifs

Deux classes de méthodes pour la reconstruction d'écoulement :

- **Méthodes orientées données** (POD, PCA, Machine Learning)

✖ Requiert une connaissance *a priori* de l'écoulement

- **Assimilation de données** :

Idée directrice : associer les données observées à un modèle physique (CFD)

✖ Procédure itérative très gourmande en ressources CPU

✖ Pas adapté à l'assimilation des grandeurs intégrées

Point de départ : Physics-Informed Neural Networks (PINNs) [Raissi et al. 2020]

Enrichissement du Deep Learning par la physique sous-jacente (EDP)

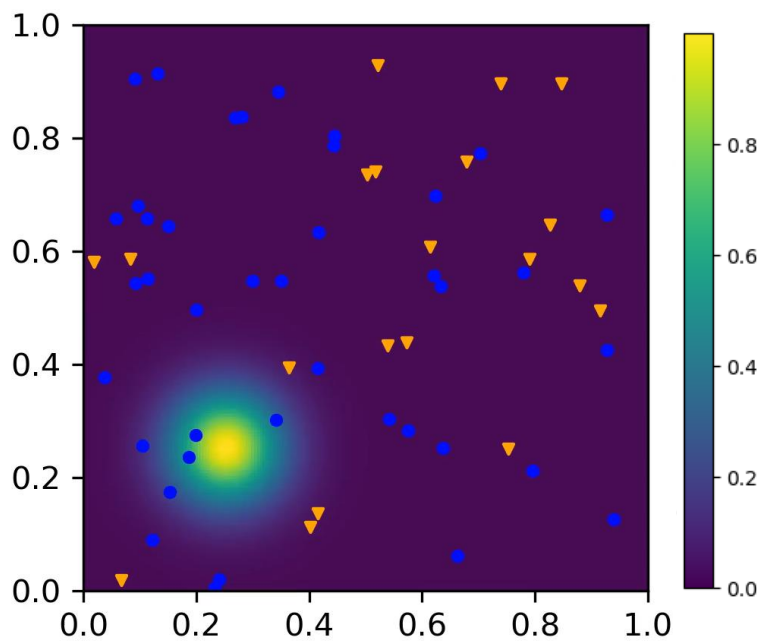
Principe des PINNs

PINNs pour la reconstruction d'écoulements

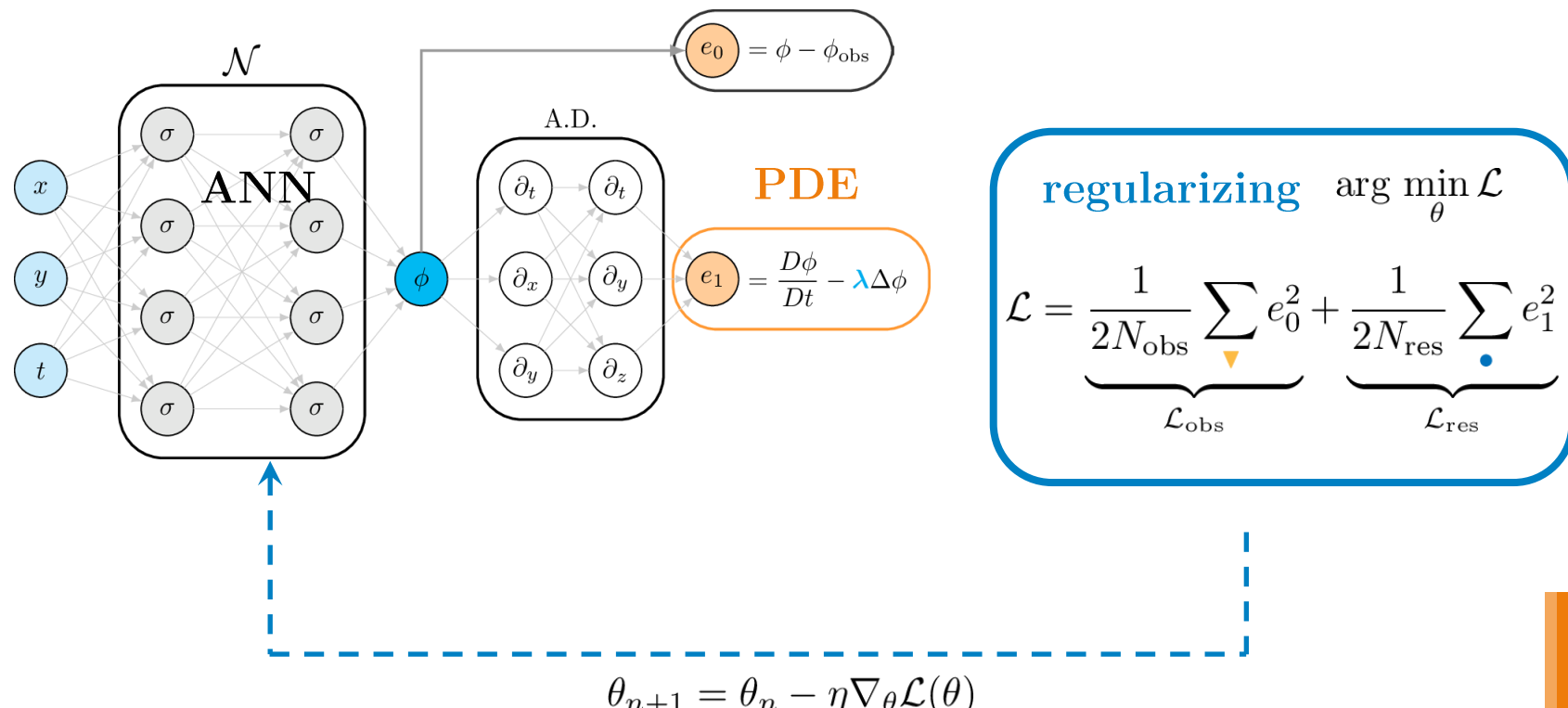
Exemple simple : advection-diffusion

$$\frac{\partial \phi}{\partial t} + (\mathbf{v} \cdot \nabla) \phi - \lambda \Delta \phi = 0 \quad \text{avec} \quad \mathbf{v} = (1, 1)^T$$

- ▼ N_{obs} points d'observation ϕ_{obs}
- N_{res} points de collocation



PINNs correspondent au pipeline “**ANN-PDE-regularizing**” [Kim et al. 21]

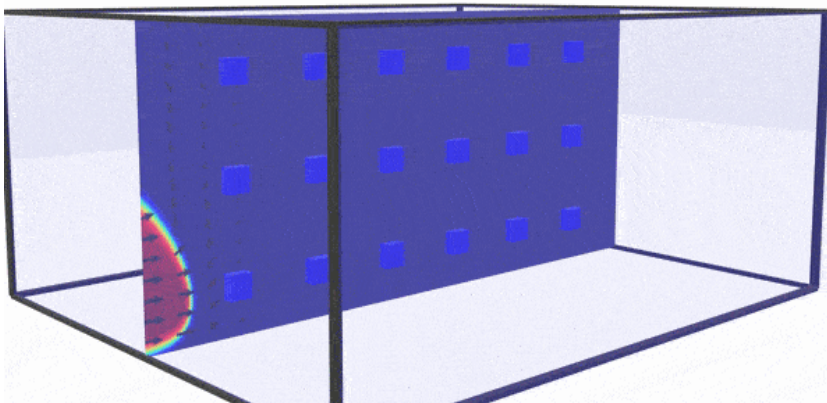


In fine : $\phi \simeq \mathcal{N}(x, y, t)$

PINNs pour la reconstruction d'écoulements

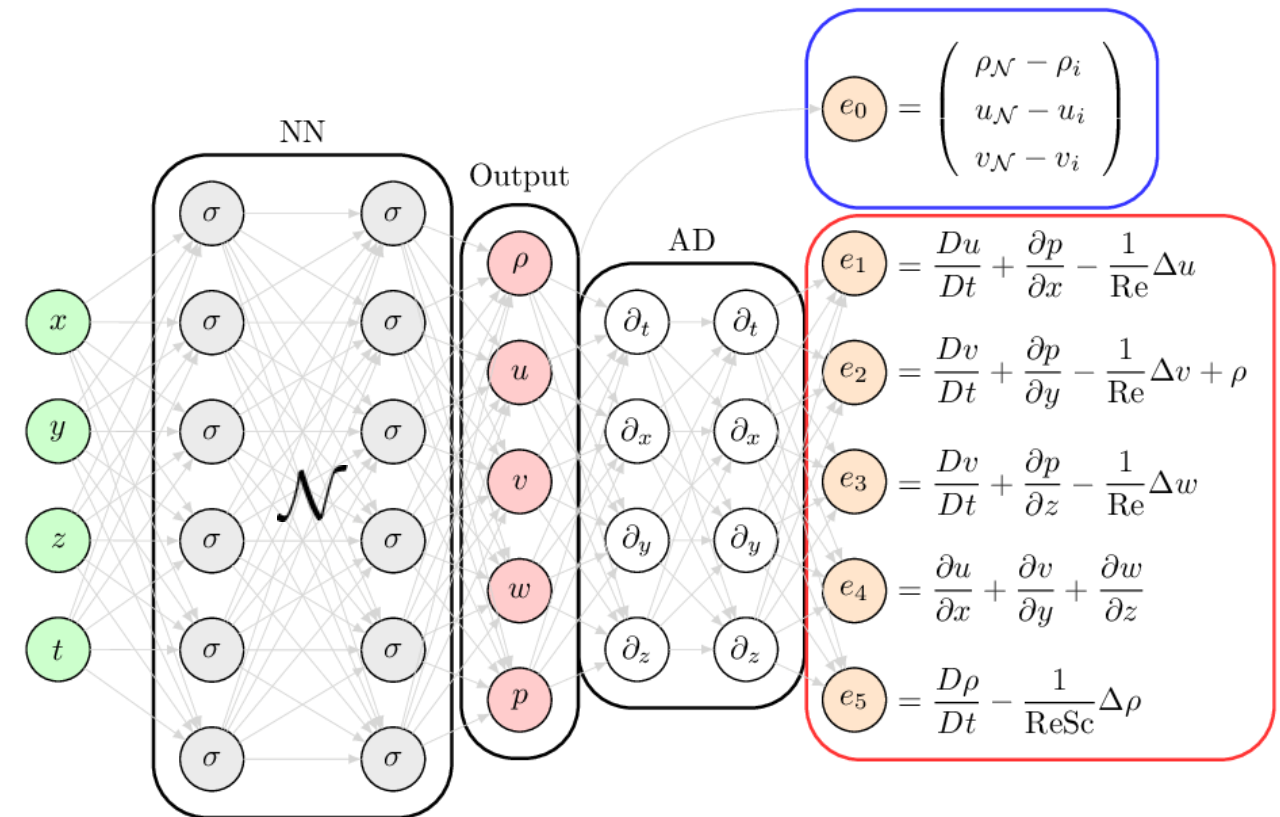
Reconstruction des courants de gravité

$$(\rho, u, v, w, p) \simeq \mathcal{N}(x, y, z, t)$$



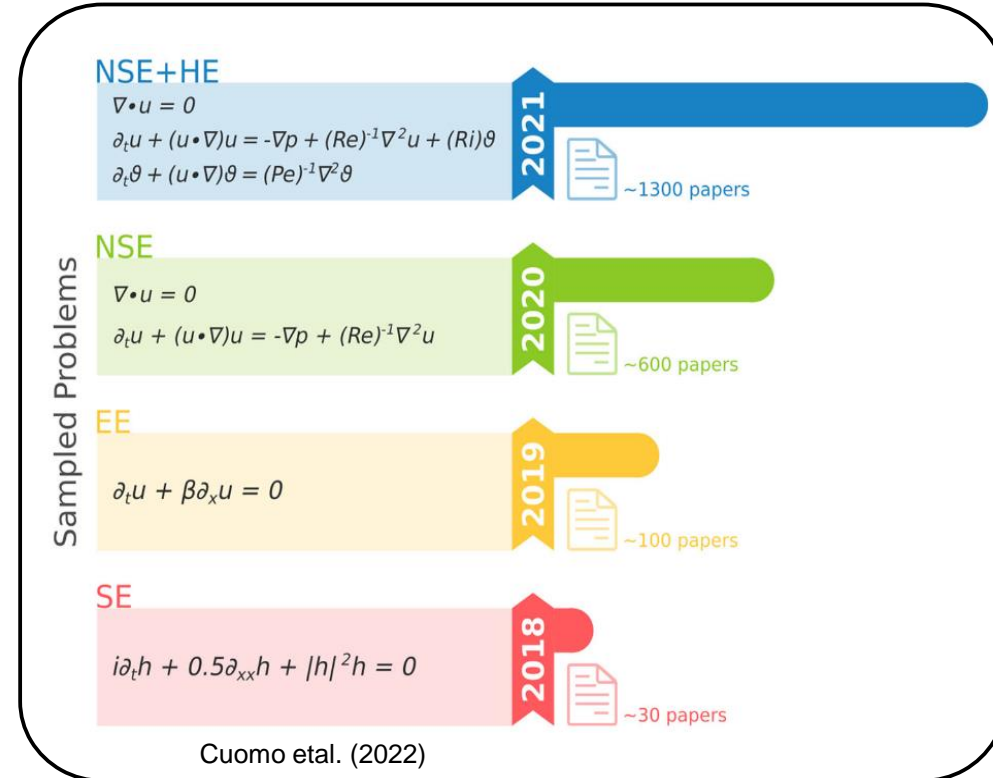
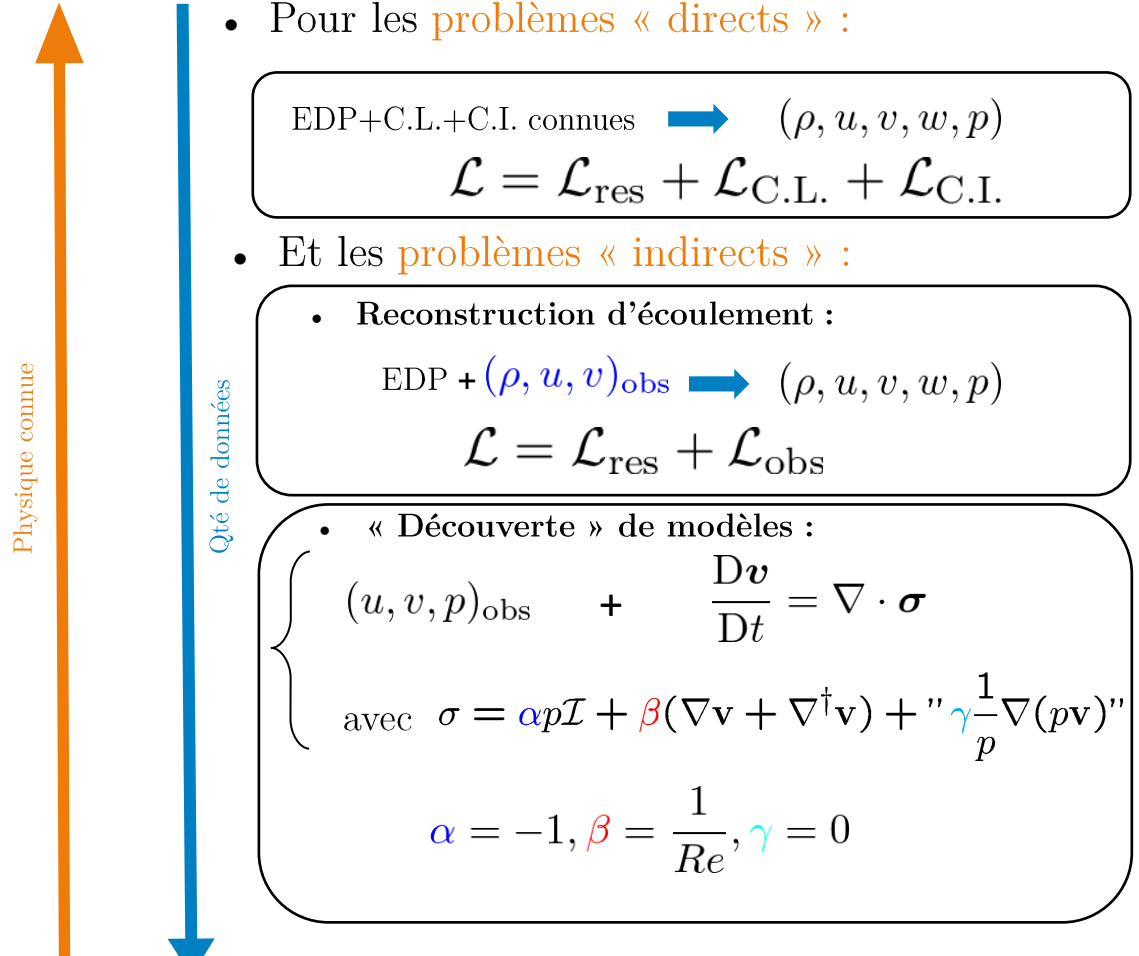
Représentation des données (cas PLIF-PIV)

- points d'observation
- points de collocation



$$\mathcal{L} = \underbrace{\frac{1}{2N_{\text{obs}}} \sum_{\blacksquare} e_0^2}_{\mathcal{L}_{\text{obs}}} + \underbrace{\frac{1}{2N_{\text{res}}} \sum_{\bullet} \sum_{k=1}^5 e_k^2}_{\mathcal{L}_{\text{res}}}$$

Un paradigme versatile et en plein essor

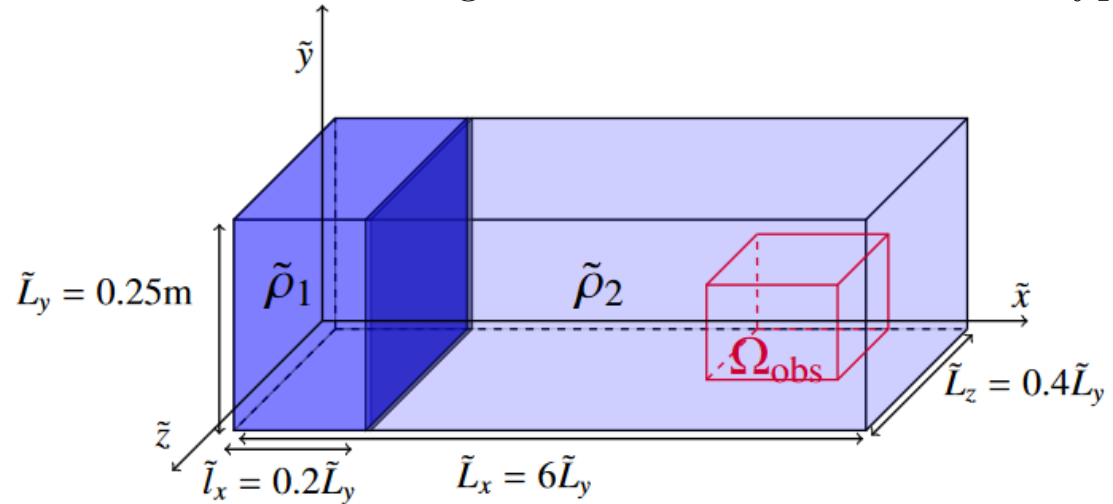


Énorme potentiel pour trouver des modèles de fermeture !

Base de données
&
Cas tests étudiés

Données synthétiques pour la reconstruction d'écoulement

Cas test : Lock-Exchange $Re = 5500$ et $Sc = 1$ avec hypothèse de Boussinesq



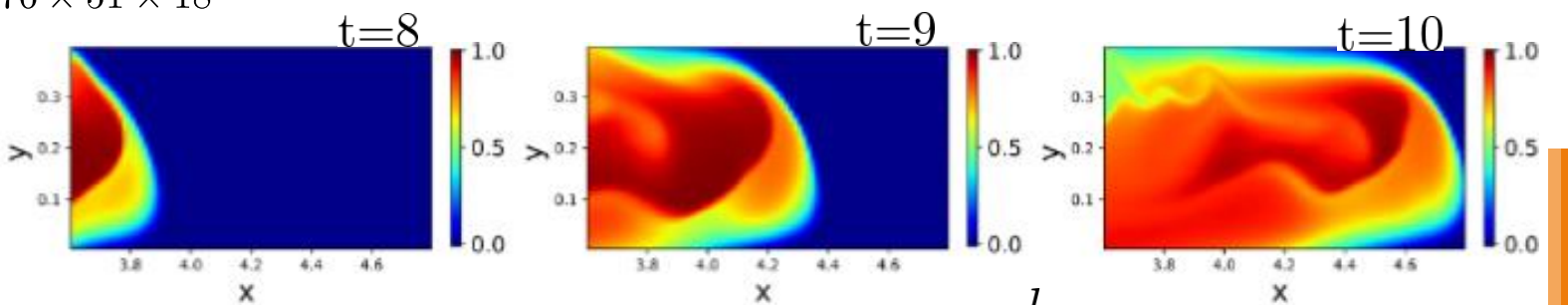
$$\begin{aligned}\frac{\partial \mathbf{v}}{\partial t} + (\mathbf{v} \cdot \nabla) \mathbf{v} + \nabla p - \frac{1}{Re} \nabla^2 \mathbf{v} + \rho e_y &= 0 \\ \frac{\partial \rho}{\partial t} + (\mathbf{v} \cdot \nabla) \rho - \frac{1}{Re Sc} \nabla^2 \rho &= 0 \\ \nabla \cdot \mathbf{v} &= 0\end{aligned}$$

Résolu par code spectral Nek5000

Données de référence $\mathcal{D}^{\text{ref}} = \left\{ \rho_{\mathbf{x}}, u_{\mathbf{x}}, v_{\mathbf{x}}, w_{\mathbf{x}}, p_{\mathbf{x}} \right\}$ acquises dans Ω_{obs} pour $t \in [8, 10]$
domaine spatio-temporel discréteisé unif. $50 \times 76 \times 51 \times 18$

$$|\mathcal{D}^{\text{ref}}| = 14M$$

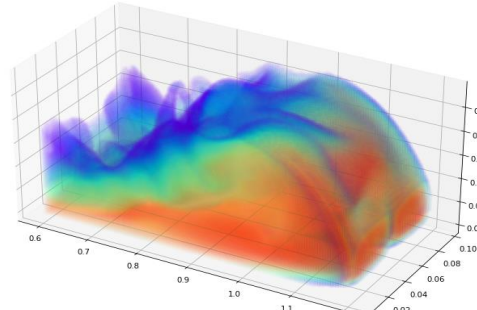
- Construction de dispositifs exp. synthétiques
- Pour mesurer l'erreur de l'inférence



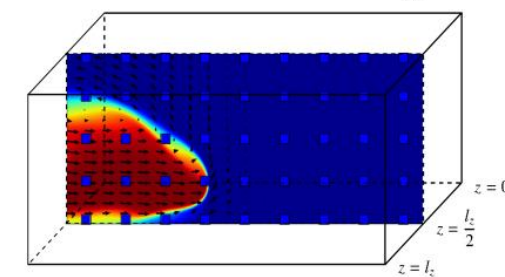
Isovaleurs de ρ à $z = \frac{l_z}{2}$

Cas tests

- **3D-LIF** : mes. volumétriques de ρ dans Ω_{obs}
experimental cost : ★★★★

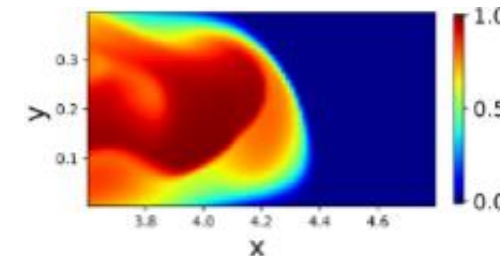


- **PLIF-PIV** : (ρ, u, v) at $z = \frac{l_z}{2}$
experimental cost : ★★★

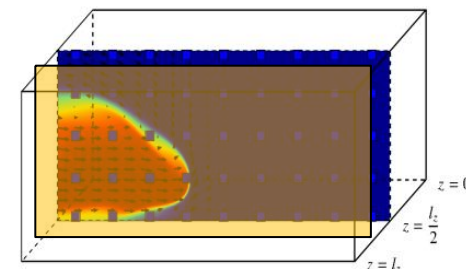


- **LAT** : $\bar{\rho} = \frac{2}{l_z} \int_0^{\frac{l_z}{2}} \rho(\cdot, z) dz$
 $\bar{\rho}_{\mathcal{N}} \simeq Quad_z(\rho_{\mathcal{N}})$ (trapèzes)
 $\mathcal{L}_{\text{data}} = \frac{1}{N_{\text{data}}} \sum_{i=1}^{N_{\text{data}}} ||Quad_z(\rho_{\mathcal{N}}) - \bar{\rho}_i||^2$

experimental cost : *



- **LAT-2PIV** : LAT + (u, v) en $z = \frac{l_z}{2}$ et $z = \frac{l_z}{4}$
experimental cost : ★★



Résultats numériques

Erreur globale de l'inférence par PINN

Calcul de la norme L2 de l'erreur dans l'ensemble du domaine spatio-temporel $\epsilon_\rho = \frac{100}{\sup_\Omega |\rho_x|} \sqrt{\frac{\sum_{\mathbf{x} \in \Omega} |\rho_N(\mathbf{x}) - \rho^{\text{ref}}(\mathbf{x})|^2}{|\Omega|}}$

Réseaux de 10 couches cachées de 200 neurones, arrêt entraînement à 300 epochs, temps GPU ~ 24 h

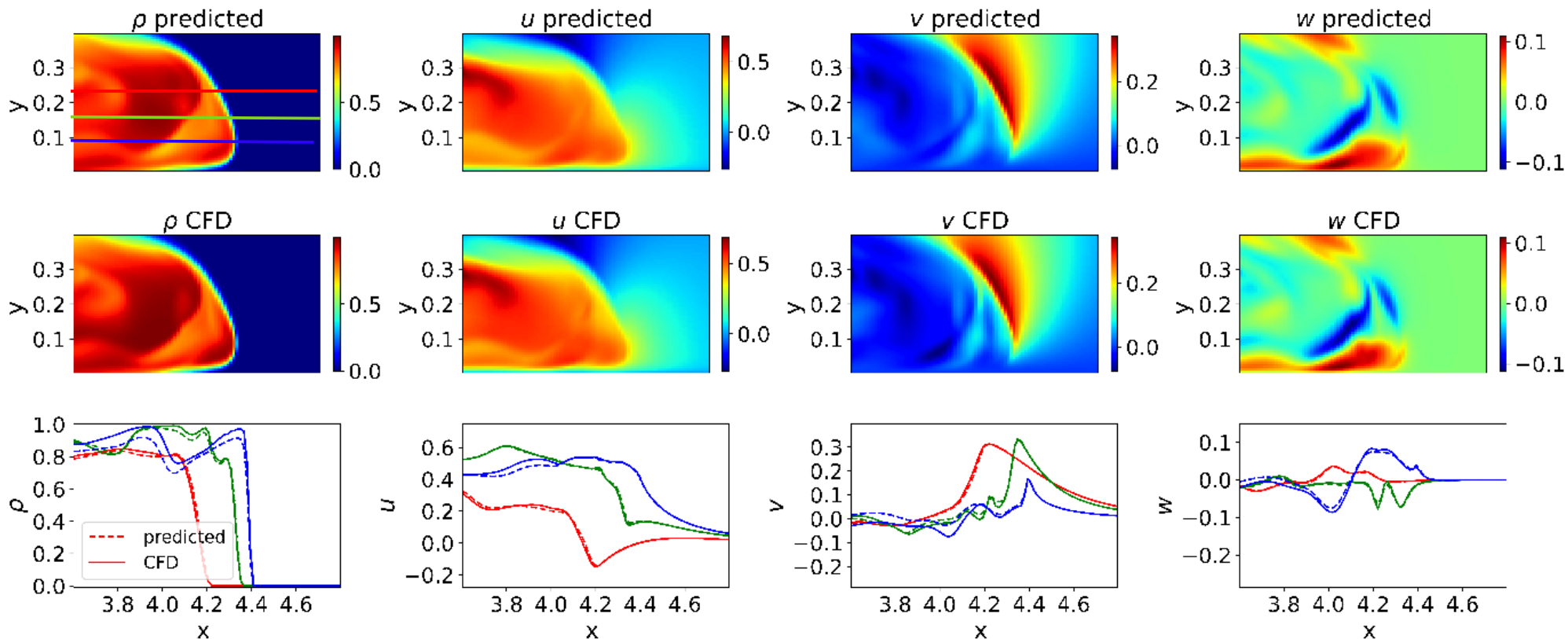
Cas	ϵ_ρ	ϵ_u	ϵ_v	ϵ_w	ϵ_p	$\bar{\epsilon}$	Coût	Data
3D-LIF	0.53%	5.99%	5.00%	4.08%	3.91%	3.90%	★★★★★	2800000
LAT	9.98%	14.49%	26.20%	11.24%	8.47%	14.07%	★	252000
PLIF-PIV	19.99%	18.20%	18.83%	8.87%	5.12%	14.20%	★★★	756000
LAT-2PIV	5.34%	3.31%	6.36%	3.43%	1.23%	3.93%	★★★	1260000

Conclusions partielles :

- **3D-LIF** erreur $< 6\%$ pour chaque cas
- **LAT** aussi précise que **PLIF-PIV** pour une fraction du coût expé (et 3 fois moins de données)
- **LAT-2PIV** permet une inférence aussi précise que **3D-LIF** (tests à venir dans l'OS)

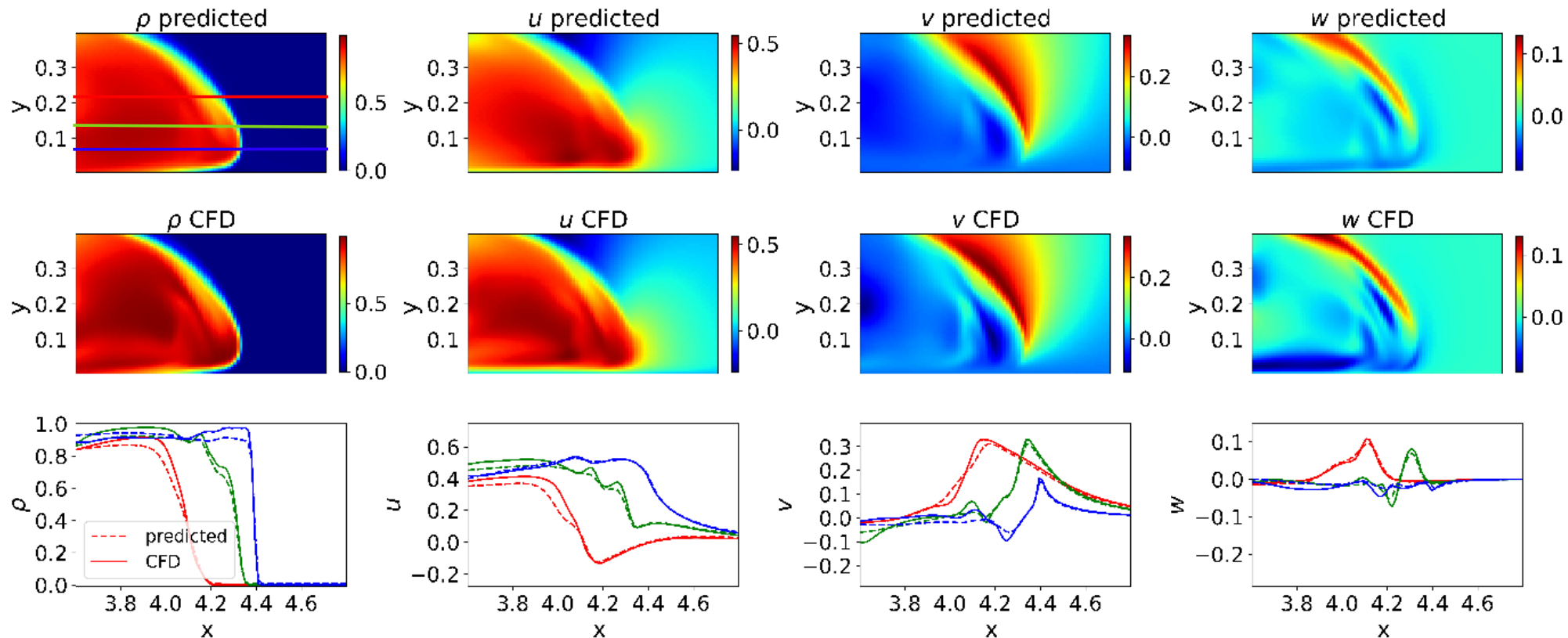
Résultats qualitatifs LAT-2PIV

Profils des champs prédicts en $z=0.16$ i.e. proche plan de symétrie



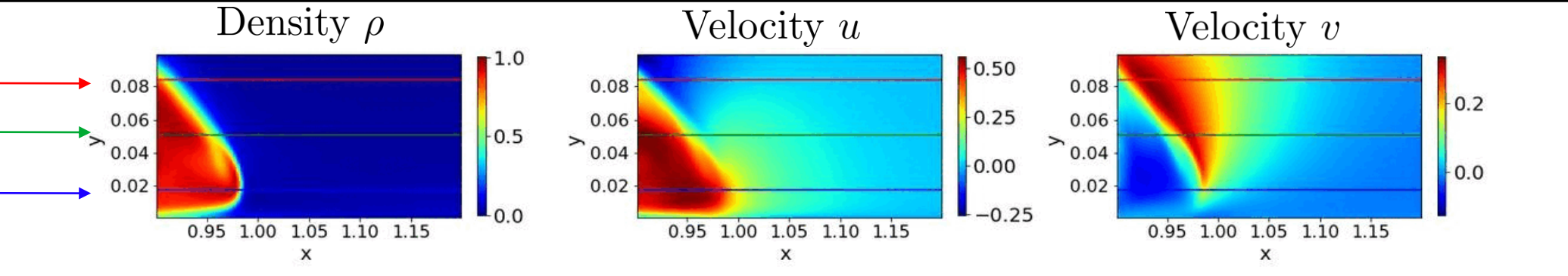
Résultats qualitatifs LAT-2PIV

Profils des champs prédicts en $z=0.05$ i.e. proche paroi

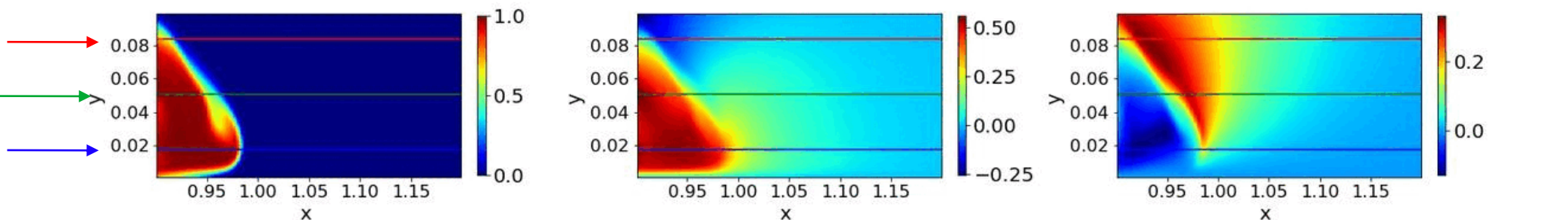


Profiles horizontaux au cours du temps

Predictions
at $z = z^*$



Ground truth
at $z = z^*$

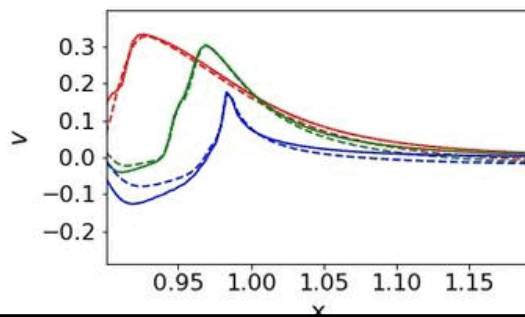
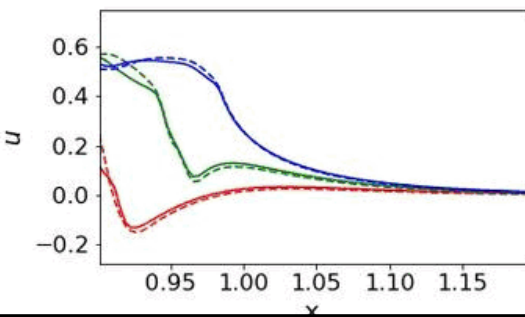
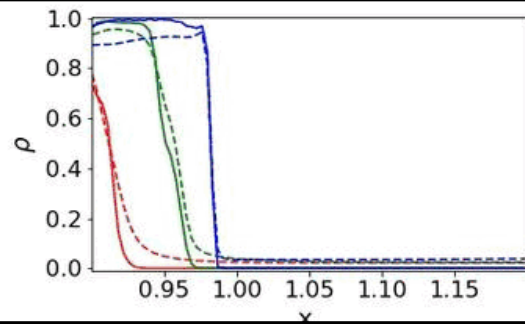


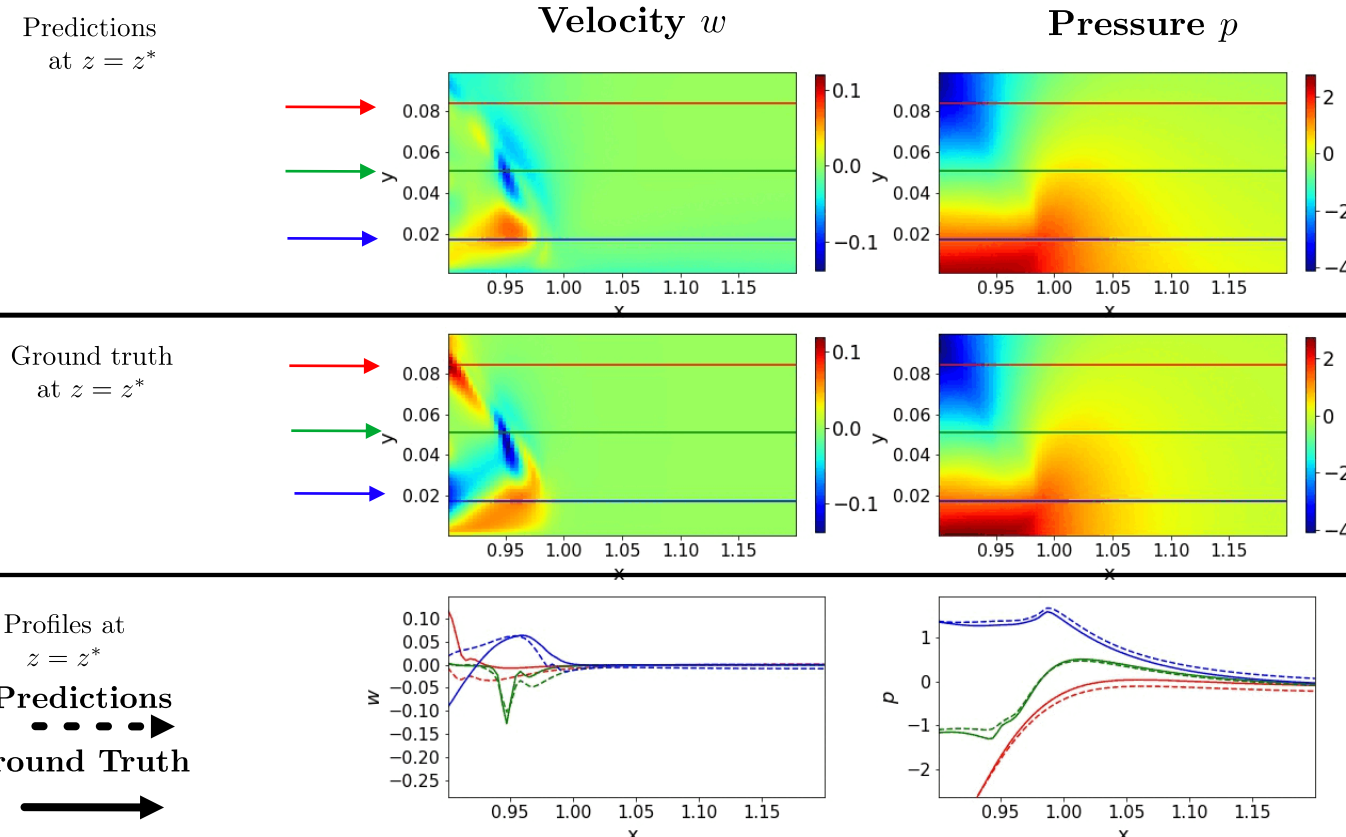
Profiles at
 $z = z^*$

Predictions



Ground Truth





Conclusions

Une preuve de concept donnée sur des données synthétiques [Delcey et al. PoF 2023] :

- capacité de reconstruction jusqu'aux parois
- faible sensibilité au bruit (non-présenté)
- LAT-2PIV un dispositif prometteur pour l'étude exp. des courants de gravité

Application aux données expérimentales (soumis à Ocean Modelling) :

- validation partielle (équations 2D)
- donne accès à la pression

